

<原 著>

# Pseudomonas aeruginosa에 依한 mink의 急性敗血症에 關한 研究

全南大學校農科大學獸醫學科

趙 成 萬

## Studies on acute septicemia of minks by pseudomonas aeruginosa

dep of Veterinary medicine Agricultural college chonnam University

Sung man, cho

(本論文의 要旨는 1961年 10月 4日 第5回  
大韓獸醫學會에서 發表하였음).

### Summary

On august 1961, three minks which were suffered from acute pneumonitis were examined at suwon.

The minks were exhibited anorexia which was first observed 24 to 36 hrs. before death. The liver, lung, heart blood kidney of the minks were cultured in the blood agar, nutrient agar and nutrient broth. As a result of cultures, same organisms were obtained from all specimens and they were identified with Bergey's manual. (1)

Characteristics of the isolated organisms were same as pseudomonas aeruginosa described in the Bergey's manual, except decomposing glucose and xylose non pathogenicity to rabbit.

Gross lesions of dead minks; The significant finding at necropsy was full dark red liquid in the stomach and the lung showed hemorrhagic.

Microscopic lesions; The lung section was hemorrhagic and epithelial cells were separated from small bronchials.

In the kidney section, it revealed hemo-

rrhagic patch in the medulla. The focal necrosis found in the liver section.

In the result of above studies, the organisms from dead minks are pseudomonas aeruginosa.

### I. 緒 論

韓國의 毛皮用 mink를 飼育한 歷史는 그리 오래되지 않으며 最近 京畿道 華城郡 日旺面 塔里 朴詰俊氏가 100首의 mink를 日本사 輸入하여 本格的으로 飼育한 것이 처음인것 같다. 따라서 우리나라에 있어서는 mink의 疾病에 對해서 全然 알려져 있지 않다. 特히 mink는 毛皮의 王者로서 外貿獲得手段으로 mink飼育의 必要性이 切實히 느껴지는 것이다. 다만 危脅을 느끼는 것은 飼育의 經驗이 적어 疾病豫防의 對策을 세울 수 없다는 것이다.

今般 朴氏로부터 原因不明의 急性疾患으로 鮫死한 mink 3首를入手하여 檢查한 結果 細菌分離에 있어서 pseudomonas가 純粹하게 分離되어 二性狀와 아울러 病理解剖 및 病理組織學的所見을 報告하는 바이다.

### II. 粘 告

1960年 12月 100首의 成熟 mink를 日本으로부터 輸入하여 1961年 8月 現在 130首로 늘었고 其間 仔 mink 15首와 成 mink 8首가 鮫死하였으나 死因에 對해서는 確實한 것을 모르고 있는

狀이었고 今般 1961年 8月 16~17日 兩日間에 首의 mink가 갑자기 鮫死하여 檢查에着手하 될 것이다.

臨床症狀；宿主에 依하면 鮫死 mink의 臨床症狀은 食慾不振, 動不活潑, 呼吸困難, 鼻出血이 있었고 이와 같은 症狀을 보인後 大概는 24時間以内에 鮫死하였다는 것이다.

剖檢所見；鮫死 mink의 榻養은 比較的 良好便이었고 筋肉도 發達한 便이었다. 鼻端에는 血液이 附着되어 있었고 肺는 出血性炎症이 甚か였으며 氣管枝內에는 血液이 充滿되어 있었다. 脊內는 黃赤色液體가 들어있어 亦是 出血를 生覽할 수 있었다.

肺臟材料를 直接 slide에 塗抹하여 gram染色과 giemsa色을 하여 gram陰性桿菌을 볼 수 있었다.

### III. 實驗 및 成績

培養試驗；培養材料는 鮫死 mink의 心血, 肝, 肺, 腎을 取하여 普通寒天培地, 血液寒天培地, Bouillon培地에 각각 培養한 結果 Table 2와 같은 成績을 얻었다. 表에 提示한 바와같이 mink鮫死體 No. 1과 No. 3에서는 各臟器에서 分離率이 높았으나 No. 2에서는 多少 떠려지는 傾向이었다. 培養된 Colony 周圍나 Bouillon培地內에는 全部綠青色의 色素가 產生되어 있었다.

Table 1. Growth on the differential media from succumbed mink organs

Media	Sample No.	Spleen	Heart Blood	Liver	Lung	Kidney
agar media	No. 1	#	#	#	#	#
	No. 2	+	-	-	#	+
	No. 3	#	#	+	#	+
Broth media	No. 1	+	-	+	+	+
	No. 2	+	-	-	+	-
	No. 3	+	+	+	+	+
Blood agar media	No. 1	#	#	#	#	#
	No. 2	#	-	+	#	+
	No. 3	#	#	#	#	#

Growth grade in the plate

#; Fully growth

#; half growth  
+; one third growth  
-; non growth

接種試驗；鮫死 mink 心血를 于先 病原性如否를 알기 为하여 각각의 心血을 mouse 腹腔內에 각각 2cc式 接種하였든바 Table 2에 提示한바와 같은 結果를 얻었다. 表에 보는바와 같이 No. 1과 No. 3에서는 接種한 mouse 全部가 鮫死하였으나 No. 2에서는 한마리도 鮫死시키지 못하였다. 이것은 菌分離試驗에서 No. 2가 分離率이 不良한 것과 一致하는 結果이였다.

Table 2. pathogenicity test with succumbed mink blood to mice intraperitoneally

Isolated strain No.	Number Tested mice	Dosage cc	Date of death					
			1	2	3	4	5	6
No. 1	2	2	*0	*				
No. 2	2	2	00	00	00	00	00	00
No. 3	2	2	00	**				

\*; Death

0; alive

病原性試驗；分離菌에 對한 病原性試驗을 하기 为하여 鮫死 mink로부터 分離된 菌 No. 1를 24時間 Bouillon培養한 材料로서 mouse, guinea pig 家兔에 對해서 각각 腹腔內, 經口, 經鼻, 皮下等의 方法으로 接種하여 病原性에 對해서 觀察한 結果 Table 3에 提示한 바와같다. 接種에 使用된 動物은 mouse 15~20g, guinea-pig 450~500g, 家兔 2,000~2,500g를 각각 使用하였다.

Table 3. Test of exotoxin with 48 hours broth culture filtrates in to guinea pig

Number of tested	route of administration	Dosage cc	Date of death						
			1	2	3	4	5	6	7
2	ip	2	00	00	00	00	00	00	00
2	ip	1	00	00	00	00	00	00	00
2	ip	0.5	00	00	00	00	00	00	00

體外毒素產生試驗；分離菌No. 1을 가지고 24時間 Bouillon培養한 것을 Seitz濾過하여 guinea pig 腹腔內에 각각 2首式 2cc, 1cc, 0.5cc를 接

種하였는바 全部가 生存하였다(Table 4). 이 實驗은 Bergey's manual<sup>(1)</sup>에 記錄된 바와는 相異하였으나 이 實驗에 있어서 接種量이 너무 적었던 것 같았다.

Table 4. Virulence test of isolated organisms from succume-d mink.

Test animal	Test number	route of treatment	Dossa ge cc	Date of death					
				1	2	3	4	5	6
mice	3	i. p	0.1	*00	**				
	3	i. p	0.01	**0	*				
	3	i. p	0.025	*00	**				
guinea pig	2	i. p	0.25	00	*0	*			
	2	i. p	0.1	*0	*				
	2	i. p	0.05	00	*0	*			
pig	2	i. o	0.025	00	00	**			
	2	oral	0.125	00	00	00	00	00	00
	2	i. s	0.15	00	00	00	0	0	0
Rabbit	2	nasal	0.1	00	00	00	00	00	00
	2	i. p	1	*0	0	0	0	0	0
	2	i. p	0.5	00	00	00	00	00	00
	2	i. p	0.25	00	00	00	00	00	00

i. p; intraperitoneal injection

i. s; intrasubcutaneous injection

生物學的性狀試驗; 分離菌에 對한 生物學的性狀을 檢查하기 為하여 각各 菌의 各種糖類에 對한 分解試驗과 V, P test, M-R test, Indol 產生試驗, gelatin에 對한 液化性 半流動寒天을 使用한 運動性等을 檢查하였다(Table 5). 即糖分解試驗에서는 Dextrose와 xylose를 分解한以外에는 其他糖은 分解하지 못하였다.

Table 5. Biological characteristics of isolated organisms

Carbohydrates	Isolated strains		
	No. 1	No. 2	No. 3
Arabinose	-- - -	-	-
Inulin	-	-	-
Mannitol	-	-	-
Galactose	-	-	-

Inosite	-	-	-
Solbit	-	-	-
Saccharoae	-	-	-
Rhamnose	-	-	-
Dextrose	+	+	+
Xylose	+	+	+
Raffinose	-	-	-
Levulose	-	-	-
Dulsitol	-	-	-
V. P. test	-	-	-
M. R. test	-	-	-
Indol	-	-	-
Gelatin	+	+	+
Motility	+	+	+

+: Decompose carbohydrate

-: Not decompose carbohydrate

病理組織學的所見; 鑿死 mink의 各臟器即 脾, 腎, 肝, 肺, 腦, 腸間膜淋巴節等을 10% formalin에 固定하여 Hematoxylin Eosin 染色을 해서 鏡檢한 結果는 圖 1~10에서 보는바와 같다.

即 脾臟에 있어서 Megakaryocyte가 赤脾髓部에 散在하고 있는 것을 볼 수 있었고 Myeloid cell도 볼 수 있었다(圖 1). 腎臟皮質由細尿管의 潛濁腫脹이 있고 medulla部에 出血斑을 볼 수 있었다(圖 2~3). 肝臟에 있어서는 肝細胞의 Focal necrosis가 있고 一部 隣邊 肝細胞의 核溶解과 炎症細胞浸潤이 있었고 甚한 肝鬱血 肝細胞萎縮靜脈內에 血液充盈 赤血球外에 多數淋巴球, 單核球等이 存在하고 있다(圖 4~6). 肺臟은 小氣管枝粘膜이 脫落된 것을 볼 수 있으며 이脫落上皮는 赤血球와 炎症細胞도 混合되어 있다. 肺胞 및 肺胞間壁은 赤血球炎症細胞 및 纖維素에 依해서 充滿融合되어 있었고 空胞狀으로 나타난部分이 보여 水腫을 生覺할 수 있었다(圖 7~8). 大腦는 腦實質의 出血點을 볼 수 있었다(圖 9).

腸間膜淋巴節은 皮膜下出血과 體質部出血이 있었고 이出血部에는 macrophage가 遊離되어 있었다.

#### IV. 考 察

以上 繁死 mink로부터 分離된 細菌으로 Bergey's manual를 基準으로 한 同定試驗을 行하였다. 大體的으로 pseudomonas aeruginosa에一致한 所見을 보였으나 몇 가지는若干 不合致한 事實이 있었다. 即 分離菌에 對한 Virulence test에 있어서 家兔를 繁死시키지 못하였다는 것과 炭水化物分解試驗에 있어서 Dextrose를 分解하였다는 것 그리고 Exotoxin 產生試驗에 있어서 guinea pig를 繁死시키지 못하였다는 것이다.

Virulence test에 있어서 Hagan et al<sup>(2)</sup>은 家兔에 對해서는 病原性이 強하지 못한 것으로 되어있어 家兔에 對한 病原性이 本菌을 同定하는 데 重要하지 않다는 것을 意味하는 것이라고 生覺된다.

炭水化物分解試驗에 있어서 Kelser et al<sup>(3)</sup>은 Dextrose를 分解한다고 하였고 merchant et al<sup>(4)</sup>은 亦是 Dextrose, Xylose를 分解한다고 하였으니 이 實驗에 있어서는 오히려 merchant의 所見과一致하였다. Exotoxin에 對한 것은 接種量이 적어서 結果가 不確實한 것 같으나 앞으로 實驗을 더해보아야 確實한 것을 決定지울 수 있다고 生覺된다.

mink의 pseudomonas infection에 關해서는 Farrell et al<sup>(5)</sup>, Becken haues et al<sup>(6)</sup>이 報告한바 있어 그 特徵으로서는 肺의 出血性炎症 및 其他臟器의 出血로 因한 出血性敗血症으로 繁死하는 事實로 보아 本實驗의 結果와 大概一致함을 알 수 있었다.

以上의 事實로 보아 pseudomonas는 mink에 對해서 感受성이 높은 것을 알 수 있으며 特히 夏節에 多發하는 理由는 本菌이 혼히 魚介類에 Saprophytes로 寄生하고 있든것이 大量增殖되여

感受성이 높은 mink가 飲食으로서 食中毒을 일으키는 것이라 生覺된다.

特히 朴氏가 飼育하고 있는 畜舍를 보건대 鐵網으로 된 一隻式 飼育할 수 있는 良設備된 飼育箱이었고 다만 飼料의 65%를 生鮮을 紿與한다하니 本菌에 依한 食中毒의 機會가 많을 것만은 事實이다.

#### V. 結 言

1. 以上 三首 繁死 mink로부터 各各 純粹分離菌을 가지고 Bergey's manual을 基準으로 하여 同定試驗을 한 結果 Dextrose의 分解性家兔에 對한 病原性 Exotoxin 生產性의 差異는 있으나 大體로 Pseudomonas aeruginosa에一致된 所見을 보였다.

2. 痘理解剖所見으로서는 胃內에 黃赤色液體가 들어 있었고 肺에 充出血을 볼 수 있었다.

3. 痘理組織所見으로서는 腎, 肺, 腦, 淋巴節等에 出血과 肝의 Focal necrosis脾의 megakaryocytes와 myeloid cell의 出現等을 볼 수 있었다.

#### References

1. R. S. Breed, E. G. D. Murray, N. R. Smith and ninety-four Contributors: Bergey's manual of determinative bacteriology. seventh edition, 1957.
2. W. A. Hagan & D. W. Bruner: The infectious diseases of domestic animal. Third edition, 1957.
3. R. A. Kelser & H. W. Schoening: Manual of veterinary bacteriology. Fifth edition, 1948.
4. I. A. Merchant & R. A. Packer: Veterinary Bacteriology and Virology. Fifth edition. 1956.
5. R. K. Farrell & I. R. Gorham: An out break of hemorrhagic pneumonia in mink. corenl Ve. 1958.
6. M. H. Beckenhauer & C. A. Miner: Pseudomonas in fection in mink. 1959.

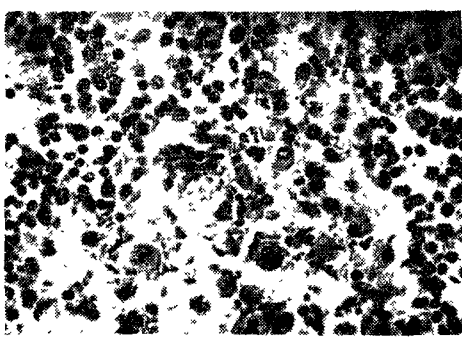


Fig. 1. Megakaryocytes and Myeloid cells are scattered in the spleen. H & E stain, x 430.

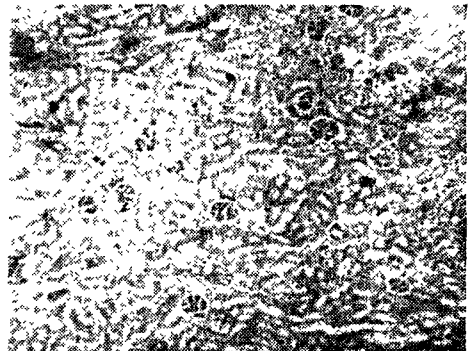


Fig. 2. Section of kidney shows cloudy swelling of the renal tubules in the cortex. H & E stain; x 100.

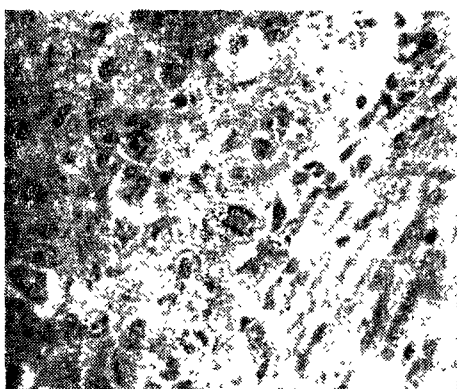


Fig. 3. Hemorrhagic patch is shown in the medulla of kidney. H & E stain; x 100.

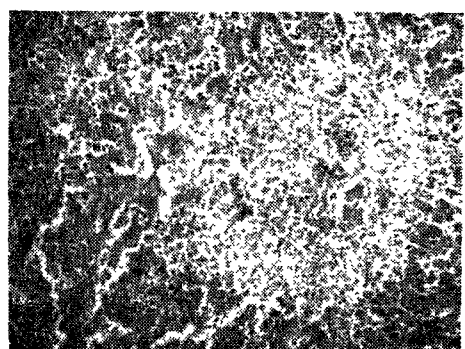


Fig. 4. Focal necrosis of liver cells is seen. H & E stain; x 100.

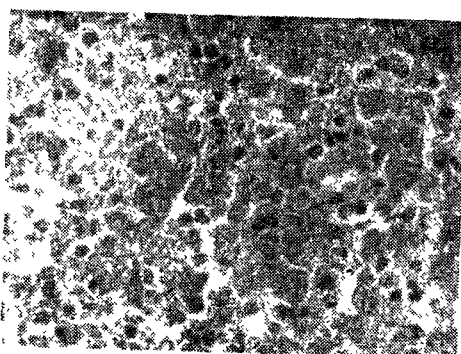


Fig. 5. Karyolysis (K) and inflammatory cell infiltration are shown near the necrotic lesion of liver. H & E stain; x 430.

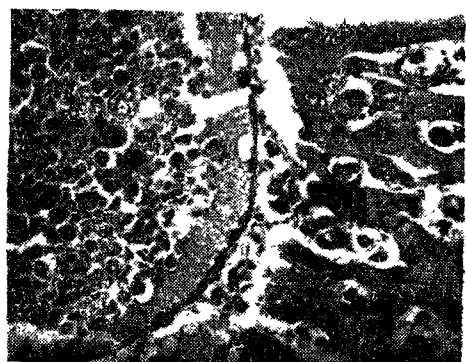


Fig. 6. Severe congestion, including erythrocytes lymphocytes and monocytes in the vein of the liver, and atropy are shown. H & E stain; x 100.



Fig. 7. Epithelial cells which mixed with the erythrocytes and inflammatory cells are separated from the small bronchial mucous membrane. H & E stain; x100.

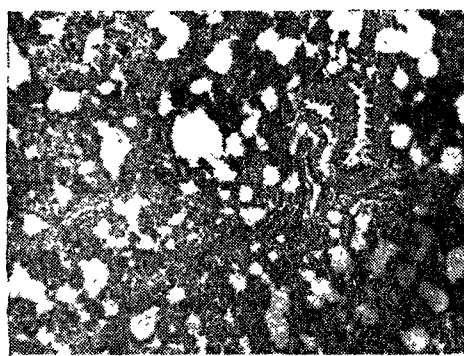


Fig. 8. Alveolar wall is full with the erythrocytes, inflammatory cells and fibrin. H. & E stain; x 100.



Fig. 9. Hemorrhagic spot is seen in the granular layer of the cerebellum. H & E stain; x 100.

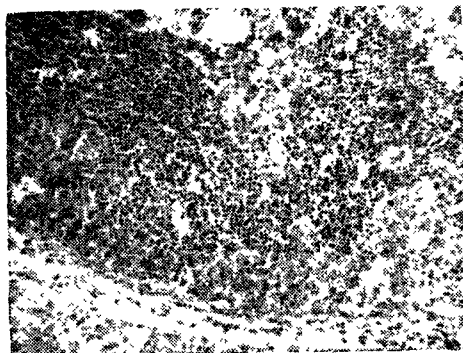


Fig. 10. Mesenteric lymph node shows hemorrhage in the medullary sinuses and macrophage are scattered in the hemorrhagic area. H & E stain; x 100.

발 ————— 축) ————— 전

## 청 일 가 축 병 원

경기도 가평군 공수의사

원 장 김 학 영

경기도 의서면 청평리 434의26